

# Aprendizado não supervisionado

Prof.: Eduardo Vargas Ferreira

- Na maior parte deste curso tratamos de **aprendizado supervisionado**, p. ex., regressão e classificação;
- Nestes casos, observamos os preditores  $\mathbf{X}_1, \mathbf{X}_2, \dots, \mathbf{X}_p$ , bem como a variável resposta  $\mathbf{Y}$ ;
- E o objetivo era prever uma nova observação  $Y$  utilizando  $\mathbf{X}_1, \mathbf{X}_2, \dots, \mathbf{X}_p$ ;
- Em **aprendizado não supervisionado**, não temos acesso às respostas  $Y$  (apenas aos  $\mathbf{X}_1, \mathbf{X}_2, \dots, \mathbf{X}_p$ );
- É uma abordagem mais abstrata, e o objetivo é descobrir características interessantes sobre as medidas (por exemplo, subgrupos entre as variáveis, padrões etc).

- Vamos discutir dois métodos:
  - ★ **Análise de componentes principais:** o objetivo é explicar a estrutura de covariância através de combinações lineares das variáveis  $X_1, X_2, \dots, X_p$ ;
  - ★ **Clustering:** se trata de uma ampla classe de métodos para descobrir agrupamentos nos dados.
- Exemplos:
  - ★ Pacientes com câncer agrupados de acordo com similaridades nas expressões gênicas;
  - ★ Grupos de consumidores caracterizados pelos seus históricos de navegação e compras;
  - ★ Filmes agrupados pelas notas dos espectadores.

- Suponha que temos  $X_1, X_2, \dots, X_p$ . Então, temos  $p$  variáveis para reproduzir a variabilidade geral do sistema;
- Porém, é possível que parte dessa variabilidade seja explicada por um número mínimo  $k < p$  de variáveis;
- **Componentes principais** são as sequências de combinações lineares de  $X_1, X_2, \dots, X_p$  que maximizam a sua variância;
- Genericamente, representa um novo sistema de coordenadas, rotacionando o original com  $X_1, X_2, \dots, X_p$  como coordenadas;
- E os novos eixos representam as direções de **máxima variabilidade**, com uma estrutura mais simples (parcimoniosa) para descrever a estrutura de covariância;

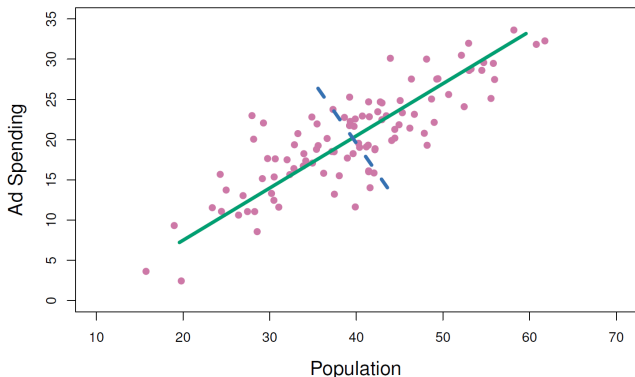
- A **primeira componente principal** de um conjunto de características  $X_1, X_2, \dots, X_p$  é a combinação linear normalizada ( $\sum_{j=1}^p \phi_{j1}^2 = 1$ )

$$Z_1 = \phi_{11}X_1 + \phi_{21}X_2 + \dots + \phi_{p1}X_p,$$

em que  $\phi_1 = [\phi_{11}, \dots, \phi_{p1}]^t$  são as cargas da 1ª c.p.;

- Elas maximizam a  $Var(Z_1) = \phi_1^t \Sigma \phi_1$ , em que  $\Sigma$  é a matriz de covariância de  $\mathbf{X} = [X_1, \dots, X_p]^t$ ;
- A normalização deve-se ao fato da  $Var(Z_1)$  aumentar a medida que  $\phi_1$  aumenta, assim eliminamos esta inconveniência;
- A **segunda componente principal**  $\phi_2^t \mathbf{X}$  maximiza  $Var(\phi_2^t \mathbf{X})$ , sujeito a restrição  $\phi_2^t \phi_2 = 1$  e  $Cov(\phi_1^t \mathbf{X}, \phi_2^t \mathbf{X}) = 0$ ;
- A ***i*-ésima componente principal**  $\phi_i^t \mathbf{X}$  maximiza  $Var(\phi_i^t \mathbf{X})$ , sujeito a restrição  $\phi_i^t \phi_i = 1$  e  $Cov(\phi_k^t \mathbf{X}, \phi_i^t \mathbf{X}) = 0, \forall k < i$ .

- O gráfico abaixo retrata o tamanho da população (**pop**) versus gasto com publicidade (**ad**) em 100 diferentes cidades;



- A linha verde representa a direção da primeira componente principal e a azul da segunda.

- Suponha que temos uma matriz  $\mathbf{X}$ ,  $n \times p$ .
- Desde que temos interesse somente na variabilidade, assumimos que os vetores coluna de  $\mathbf{X}$  têm média zero;
- E, considerando deste fato, encontramos a combinação linear das características  $\mathbf{X}_i$  da forma

$$z_{i1} = \phi_{11}x_{i1} + \phi_{21}x_{i2} + \dots + \phi_{p1}x_{ip},$$

para  $i = 1, \dots, n$ , tal que apresente a maior variabilidade, sujeito a restrição  $\sum_{j=1}^p \phi_{j1}^2 = 1$ ;

- Como os  $\mathbf{x}_j$ 's tem média zero, os  $\mathbf{z}_j$ 's também terão. Assim, a variância de  $\mathbf{z}_j = \frac{\sum_{i=1}^n z_{ij}^2}{n}$ .

- Dessa forma, a primeira componente principal resolve o problema de otimização

$$\underset{\phi_{11}, \dots, \phi_{p1}}{\operatorname{argmax}} \frac{1}{n} \sum_{i=1}^n \left( \sum_{j=1}^p \phi_{j1} x_{ij} \right)^2, \quad \text{sujeito a } \sum_{j=1}^p \phi_{j1}^2 = 1.$$

**Resultado:** Seja  $\Sigma$  a matriz de covariância associada ao vetor aleatório  $\mathbf{X}^t = [\mathbf{X}_1, \dots, \mathbf{X}_p]$ , e  $(\lambda_j, \mathbf{e}_j)$  o autopar, tal que  $\lambda_1 \geq \lambda_2 \geq \dots \geq \lambda_p \geq 0$ . Então

$$Z_j = \mathbf{e}_j^t \mathbf{X} = e_{1j} X_1 + e_{2j} X_2 + \dots + e_{pj} X_p,$$

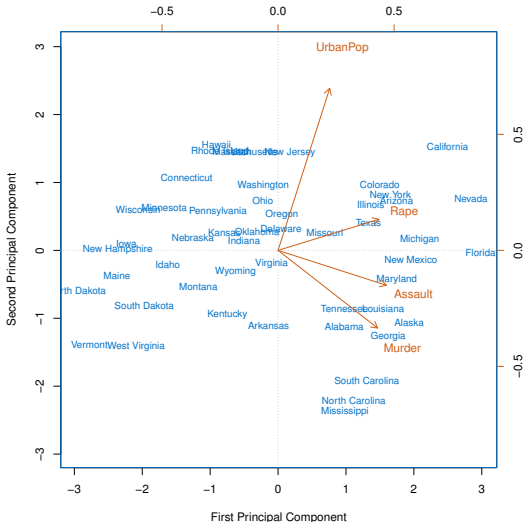
com  $\operatorname{Var}(Z_j) = \mathbf{e}_j^t \Sigma \mathbf{e}_j = \lambda_j$  e  $\operatorname{Cov}(Z_j, Z_k) = \mathbf{e}_j^t \Sigma \mathbf{e}_k$ .

- Os dados contém o número de prisões por 100.000 residentes nos 50 estados dos Estados Unidos;
- As prisões decorrem de um dos três crimes: assalto ([assault](#)), assassinato ([murder](#)) ou estupro ([rape](#));
- Registrou-se, também, o percentual da população vivendo em área urbana de cada estado ([UrbanPop](#));
- Dessa forma, temos  $n = 50$  e  $p = 4$ .
- No gráfico a seguir são apresentadas as duas primeiras componentes principais para o dados em questão.

# Exemplo: USAarrests data



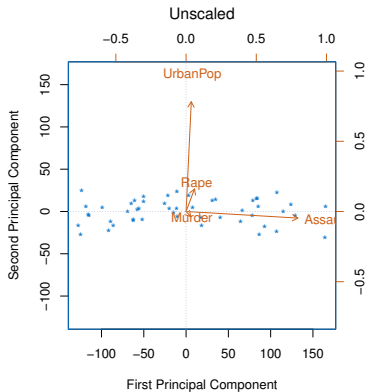
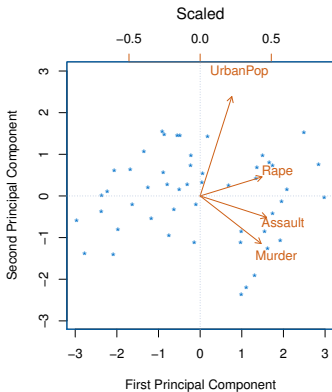
- Os nomes em azul representam o escore para as duas c.p.;



# Escalando as variáveis



- Se as variáveis estão em diferentes unidades é recomendável escalar cada uma para se ter um desvio padrão igual a 1.
- Se estiverem em uma mesma métrica, pode-se ou não escalá-las;



# Proporção da variância explicada

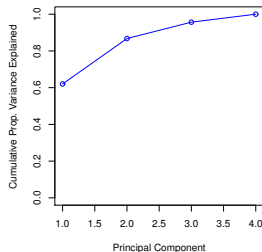
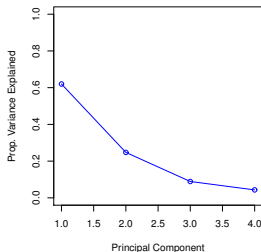
- A variância total presente nos dados é definida como

$$\sum_{j=1}^P \text{Var}(\mathbf{X}_j) = \lambda_1 + \lambda_2 + \dots + \lambda_p = \sum_{j=1}^P \text{Var}(\mathbf{Z}_j)$$

- Assim, a proporção da variância explicada pela  $j$ -ésima componente principal é dada por

$$\frac{\lambda_j}{\lambda_1 + \lambda_2 + \dots + \lambda_p}$$

- Abaixo, a proporção da variância explicada por cada uma das quatro c.p. referente ao [USArrests](#) data;

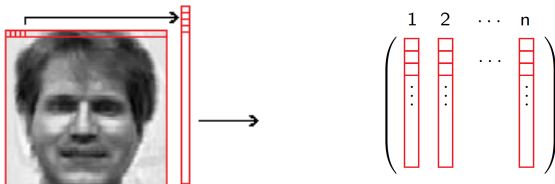


# Exemplo: Eigen Faces

- Considere uma base com  $n$  imagens de faces;

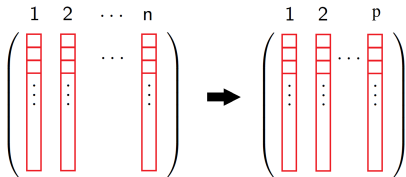


- Cada face é uma matriz  $k \times k$ , que transformamos em um vetor  $k^2$ ;
- Em seguida agrupamos em uma matriz  $k^2 \times n$ .



# Exemplo: Eigen Faces

- Extraindo as componentes principais chegamos a uma matriz  $k^2 \times p$ ;



- Para uma específica face temos:

$$\text{Face Image} = \text{m\u00e9dia} + 0.9 \times \text{Component 1} - 0.2 \times \text{Component 2} + 0.4 \times \text{Component 3} + \dots$$

- Pergunta:** Quantas componentes precisamos?

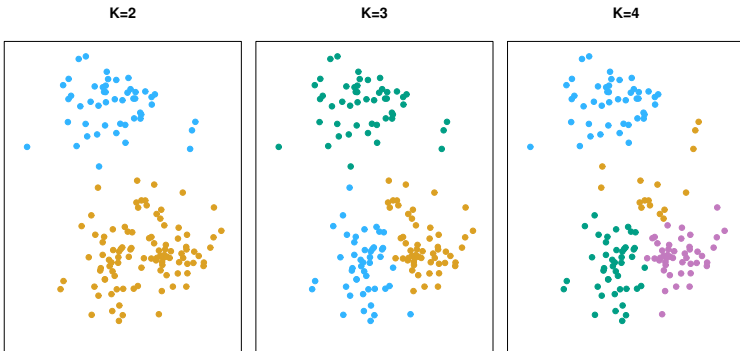


- **Clustering** refere-se ao conjunto de técnicas para encontrar subgrupos (ou *clusters*) a partir dos dados;
- Buscamos partições em grupos distintos, tal que observações dentro de cada grupo sejam similares entre si e diferentes dos demais;
- Ou seja, subgrupos homogêneos segundo algum critério de similaridade;
- Diferente dos componentes principais, que busca explicar o máximo da variância em baixas dimensões.
- Veremos dois métodos:
  - ★ **K-means clustering**: procuramos partições dos dados em um número pré-determinado de clusters;
  - ★ **Hierarchical clustering**: não sabemos de antemão quantos clusters utilizaremos. Isso será feito através de uma representação visual.

# Exemplo: $K$ -means



- Os dados simulados consistem em 150 observações no espaço 2-dimensional;
- Os painéis representam os resultados de  $K$ -means para diferentes valores de  $K$  (que representa o número de cluster);



- Seja  $C_1, C_2, \dots, C_K$  respectivos grupos contendo os índices das observações, satisfazendo as seguintes propriedades:
  - ★  $C_1 \cup C_2 \cup \dots \cup C_K = \{1, \dots, n\}$ . Em outras palavras, cada observação pertence à pelo menos um grupo;
  - ★  $C_k \cap C_{k'} = \emptyset$ . Ou seja, as observações não pertencem a mais de um grupo ao mesmo tempo.
- P. ex., se a  $i$ -ésima observação está no  $k$ -ésimo cluster, então  $i \in C_k$ ;
- A ideia do  $K$ -means é buscar agrupamentos tal que a variação dentro de cada cluster seja tão pequena quanto possível;

- A variação dentro do cluster  $C_k$  (*within-cluster variation*) é medida pelo  $WCV(C_k)$ . É a quantidade pela qual as observações dentro do cluster diferem entre si;
- Tipicamente utilizamos a distância Euclideana

$$WCV(C_k) = \frac{1}{|C_k|} \sum_{i,i' \in C_k} \sum_{j=1}^p (x_{ij} - x_{i'j})^2,$$

em que  $|C_k|$  denota o número de observações no  $k$ -ésimo cluster;

- Sendo assim, queremos resolver o seguinte problema

$$\underset{C_1, \dots, C_K}{\operatorname{argmin}} \left\{ \sum_{k=1}^K \frac{1}{|C_k|} \sum_{i,i' \in C_k} \sum_{j=1}^p (x_{ij} - x_{i'j})^2 \right\}.$$

- I.e., particionar as observação em  $K$  clusters, tal que o total da variação dentro de cada agrupamento (somado para todo  $k$ ) seja o menor possível.

- Note que,

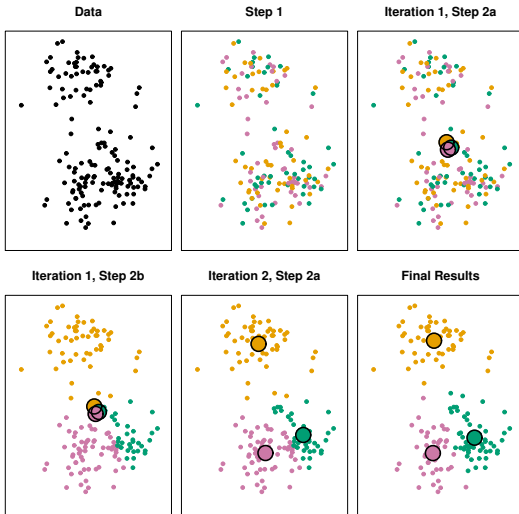
$$\operatorname{argmin}_{C_1, \dots, C_K} \left\{ \sum_{k=1}^K \frac{1}{|C_k|} \sum_{i, i' \in C_k} \sum_{j=1}^p (x_{ij} - x_{i'j})^2 \right\} = \operatorname{argmin}_{C_1, \dots, C_K} \left\{ \sum_{k=1}^K 2 \sum_{i \in C_k} \sum_{j=1}^p (x_{ij} - \bar{x}_{kj})^2 \right\}$$

- $\bar{x}_{kj} = \frac{1}{|C_k|} \sum_{i \in C_k} x_{ij}$  é a média da característica  $j$  no cluster  $C_k$ .

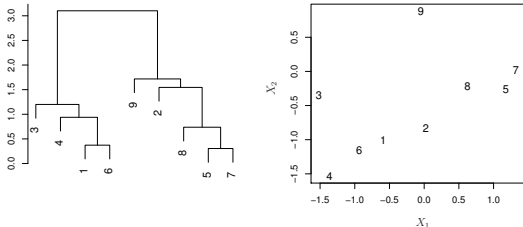
## Algoritmo

- ★ **Step 1:** Atribua, aleatoriamente, cada observação em um dos  $K$  clusters (este é o chute inicial);
- ★ **Step 2:** Itere até que os clusters se estabilizem:
  - Para cada  $K$  cluster, calcule seu centroide;
  - Atribua cada observação ao cluster mais próximo (menor distância Euclideana).

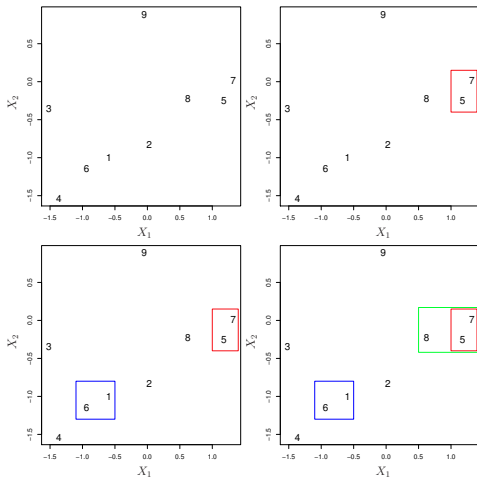
# Exemplo



- Como vimos,  $k$ -means exige que preespecifiquemos o número de clusters  $K$ . O que pode ser uma desvantagem;
- **Hierarchical clustering** é uma abordagem alternativa que não exige comprometimento com a escolha de  $K$ ;
- Descreveremos a abordagem por aglomeração (*agglomerative clustering*).
- A ideia é construir um dendrograma com folhas que se agrupam até chegar ao tronco;

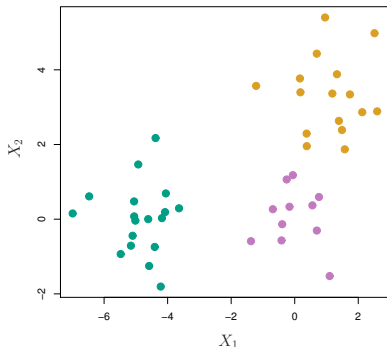


# Ideia do algoritmo

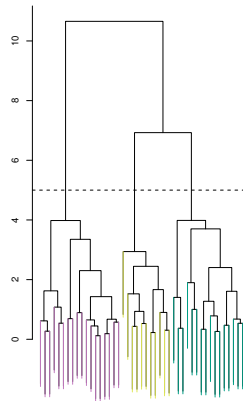
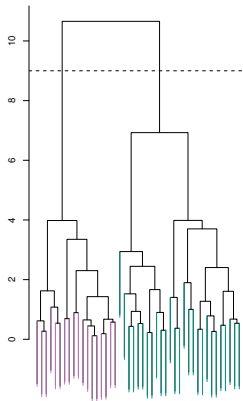
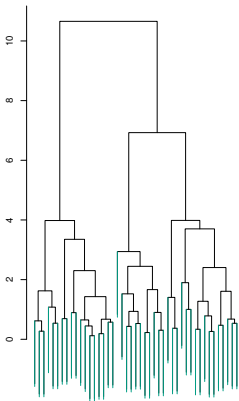


- Iniciamos com cada ponto sendo seu próprio cluster;
- Identificamos os dois clusters mais próximos e os agrupamos;
- Repetimos este processo até restar um cluster.

- Temos 45 observações geradas no espaço 2-dimensional;
- De fato, temos 3 classes distintas (separadas por cores);
- Todavia, trataremos esses rótulos como desconhecidos, e agruparemos as observações a fim de descobrir suas classes.

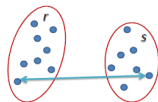


- Abaixo, três dendrogramas com diferentes alturas de corte (que resulta em clusters distintos);



## Complete

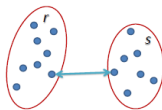
- Calculamos a máxima dissimilaridade entre os clusters.



$$L(r, s) = \max(D(x_{ri}, x_{sj}))$$

## Single

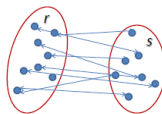
- Calculamos a mínima dissimilaridade entre os clusters.



$$L(r, s) = \min(D(x_{ri}, x_{sj}))$$

## Average

- Calculamos a dissimilaridade média entre os clusters.



$$L(r, s) = \frac{1}{n_r n_s} \sum_{i=1}^{n_r} \sum_{j=1}^{n_s} D(x_{ri}, x_{sj})$$

- Em geral, **average** e **complete** linkage tendem a produzir agrupamentos mais equilibrados.

